

О.Ф. Сіренко

# Експериментальне моделювання напруженого-деформованого стану незнімної ортопедичної конструкції з опорою на дентальний імплантат та абатмента методом кінцевих елементів

Національна медична академія післядипломної освіти ім. П.Л. Шупика, м. Київ, Україна

**Мета:** підвищення ефективності ортопедичного лікування пацієнтів з дефектами зубних рядів за допомогою дентальних імплантатів за рахунок об'єктивізації оцінки напруженого-деформованого стану ортопедичних конструкцій.

**Матеріали та методи.** Для перевірки математичних розрахунків здійснювали моделювання напруженого-деформованого стану незнімної ортопедичної конструкції, абатменту та фіксуючого гвинта методом кінцевих елементів у комп'ютерній програмі ANSYS.

**Результати.** У ході математичних розрахунків та експериментального дослідження напруженого-деформованого стану ортопедичних конструкцій з опорою на внутрішньоісткові дентальні імплантати було встановлено, що напруження в концентраторі під кутом  $90^\circ$  у 2,6 разу більше, ніж з кутом  $137^\circ$ . Експериментально доведено, що оптимальний кут конусності абатмента складає  $7,5^\circ$ , а максимальні напруження, що виникають у такому абатменті, завдяки оптимізації конусності були зменшені у 1,4 разу порівняно з кутом конусності абатмента  $14^\circ$ .

**Висновки.** Застосування запропонованих оптимальних параметрів індивідуального абатменту для мінімізації оклюзійного навантаження на незнімні металокерамічні конструкції з опорою на дентальні імплантати допомагає знизити показники напруженого-деформованого стану в зубних протезах, абатменті та фіксуючому гвинті.

**Ключові слова:** дефекти зубних рядів, незнімні зубні протези, напруженого-деформований стан ортопедичних конструкцій на внутрішньоісткових дентальних імплантатах.

Одним з найважливіших факторів, що призводять до виникнення ускладнень після імплантатів на етапі ортопедичного лікування, є нераціональний розподіл жувального навантаження. Для покращення розуміння розподілу жувального навантаження та можливості розрахунку параметрів ортопедичних конструкцій з опорою на імплантати з урахуванням стану оточуючих імплантат тканин було проведено ряд математичних та експериментальних досліджень із застосуванням сучасних комп'ютерних технологій, що в сукупності дозволяють знизити ризик виникнення ускладнень [2, 4, 7, 9, 10, 11]. З метою покращення фіксації незнімних ортопедичних конструкцій з опорою на імплантати було запропоновано ряд конструктивних рішень для посилення ретенції штучних коронок та покращення естетики [5, 6, 8, 12].

**Мета** дослідження – підвищення ефективності ортопедичного лікування пацієнтів з дефектами зубних рядів за допомогою дентальних імплантатів за рахунок об'єктивізації оцінки напруженого-деформованого стану ортопедичних конструкцій.

## Матеріали та методи дослідження

Для вивчення топографії руйнування незнімних ортопедичних конструкцій з опорою на внутрішньоісткові дентальні імплантати було застосовано математичний аналіз напруженого-деформованого стану зубів під дією жувальних сил [1, 3, 9], за допомогою якого вдалось визначити ймовірну топографію руйнації металокерамічних конструкцій та фіксуючого гвинта абатмента під дією навантаження у вигляді сил, що діють на ортопедичну конструкцію вертикально та під кутом  $\gamma$  до протезу.

Розрахунки проводились за методикою І.В. Кнетіса (1980), О.О. Баса (2003), яка передбачає припущення, що

сила Р діє під кутом  $\gamma = 200$ , а точка її додатка на відстані однієї четвертої частини зовнішнього діаметра кореня (D) від центра.

Методика передбачає математичний розрахунок напруженого-деформованого стану імплантату, абатмента та металокерамічних протезів під дією навантаження. Для розрахунку виходили з того, що на ортопедичну конструкцію з опорою на внутрішньоістковий дентальний імплантат діє найбільш несприятлива за напрямком сила Р, що відповідає максимальному однократному жувальному навантаженню. Жувальне навантаження визначили таким, яке не може перевищувати витривалості пародонту зуба. Витривалість пародонту премолярів становить 150–220 Н. У верхніх перших молярів вона може досягати 370 Н. Виходячи з того що на кожній корінь багатокореневого зуба припадає частина навантаження, максимальне однократне жувальне навантаження на корінь молярів і премолярів прийняли 290 Н. Оскільки в разі протезування на імплантатах відсутній елемент зворотного зв'язку із тканинами періодонту, у дослідженні вивчали сили у 220 Н (як середнє значення) та 400 Н (як максимальне навантаження). Діючу силу Р розкладали на дві складові: вертикальну  $P_v = P \cos \gamma$  і горизонтальну  $P_h = P \sin \gamma$ . Виходячи з того що при збільшенні кута додатка сили до осі конструкції на імплантаті більше  $15^\circ$  приходить до травми тканин, оточуючих імплантат, з урахуванням запасу міцності, для розрахунку прийняли  $\gamma = 200$  як найбільш несприятливий кут.

Для перевірки математичних розрахунків було проведено моделювання напруженого-деформованого стану незнімної ортопедичної конструкції, абатмента та фіксуючого гвинта методом кінцевих елементів. Моделювання здійснювали в комп'ютерній програмі ANSYS [1, 3].

## Результати дослідження та їх обговорення

У результаті проведеного математичного дослідження з урахуванням біомеханіки жувального апарату визначено напружене-деформований стан імплантату, абатмента та металокерамічних протезів під дією навантаження, що дозволило обрахувати математичну модель напружене-деформованого стану імплантату, абатмента та металокерамічних протезів у точній математичній постановці з урахуванням всіх конструктивних особливостей протезу.

За допомогою математичного аналізу була запропонована формула для визначення оптимального з точки зору міцності кута конусності абатмента:

$$\left\{ \begin{array}{l} \beta = 2\tan^{-1} \left( \text{abs} \left( \frac{0,32P \cos \gamma - 0,25[\sigma]_a d_b^2}{[\sigma]_a H^2} \right) - \frac{0,5d}{H} \right), \\ D_a = d + 2H \tan \frac{\beta}{2}; \quad d = D_a - 2H \tan \frac{\beta}{2} \end{array} \right.$$

де  $P$  – сила жувального навантаження,  $H$  – висота абатмента,  $D_a$  – зовнішній діаметр абатмента,  $[\sigma]_a$  – допустиме напруження матеріалу абатмента,  $d$  – діаметр верхньої частини абатмента, тобто діаметр на висоті  $H$  від основи конуса,  $d_b$  – діаметр головки фіксуючого гвинта,  $\text{abs}$  – позначення абсолютноного (додатнього) значення виразу (рис. 1).

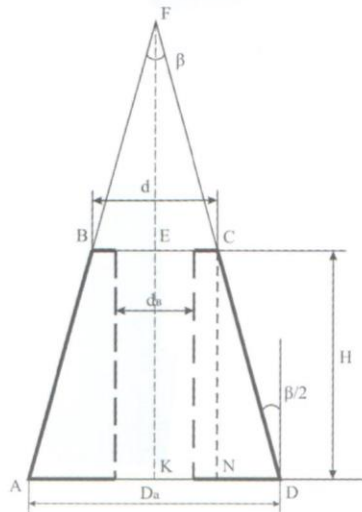


Рис. 1. Геометрична інтерпретація перерізу абатмента.

Для стабільної фіксації коронки на абатменті, щоб уникнути впливу крутного моменту, наносяться поздовжні пази на апоксимальних поверхнях абатмента. Розглянемо напружене-деформований стан абатмента з урахуванням пазів (рис. 2).

Запропоновано формулу, за якою можна визначити оптимальний з точки зору міцності радіус поздовжнього пазу:

$$r' \leq \sqrt{\frac{P \cos \gamma}{3,14[\sigma]_a}} - R_a^2 - r_b^2,$$

де  $[\sigma]_a$  – допустиме напруження матеріалу абатмента;  $P$  – жувальне навантаження;  $R_a = 0,5D_a$  – зовнішній радіус абатмента;  $r_b = 0,5d_b$  – внутрішній радіус отвору абатмента під головку фіксуючого гвинта;  $r' = 0,5d'$  – радіус пазу.

Для дослідження отриманих аналітичних результатів був проведений ряд числових експериментів у програмі ANSYS на чотирьохядерному комп’ютері з тактовою частотою 12 ГГц та обсягом оперативної пам’яті 8 Гб. При вирішенні поставленої задачі методом кінцевих елементів була отримана дискретна модель. При дискретизації імплантату, абатмента та штучної коронки було отримано 950000 об’ємних кінцевих елементів у вигляді тетраедрів (рис. 3).

У результаті дослідження були отримані графіки напружень, які виникають в ортопедичній конструкції з опорою на внутрішньокістковий дентальний імплантат під час дії жувального навантаження 220 Н (рис. 5–6).

За допомогою методу кінцевих елементів були отримані поля напруження в конструкції, які виявилися найбільшими в ділянці з’єднання стержня та голівки фіксуючого гвинта (рис. 5). Достіль високі напруження виникають на внутрішньому боці штучної коронки в місці дотику з верхнім кутом абатмента, що також зростають при циклічному навантаженні і можуть привести до руйнування конструкції.

Методом кінцевих елементів було встановлено, що граничні напруження, які виникають у каркасі штучної коронки, абатменті, фіксуючому гвинті та самому імплантаті, при зростаючому циклічному навантаженні до 400 Н дозволяють визначити всі критичні зони напруження, які не були виявлені при попередньому розрахунку сили у 220 Н (рис. 6).

При аналізі даних, отриманих за допомогою моделювання конструкції методом кінцевих елементів з урахуванням більшої величини жувального навантаження, було встановлено поля еквівалентних напружень із зазначенням максимальних і мінімальних значень напруження та їх розташування (рис. 4). Мінімальні напруження були зареєстровані в апікальній частині імплантату. Максимальні напруження, які призводять до руйнування елементів ортопедичної конструкції та резорбції кісткової тканини, були виявлені в ділянці шийки імплантату, у фіксуючому гвинті абатмента, у самому абатменті, на внутрішній поверхні каркасу коронки, на оклюзійній поверхні штучної коронки по центру та на схилах горбків, що підтвердило результати проведених математичних розрахунків.

Була проведена серія числових експериментів перевізу імплантату та абатмента з метою визначення оптимальної конусності абатмента та кута нахилу уступу абатмента. Методом кінцевих елементів отримано кінцево-елементна модель в перевізі, що складалась із 25000 кінцевих елементів. Спочатку була проведена

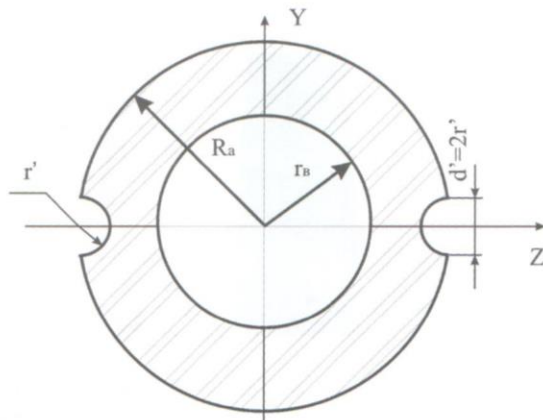


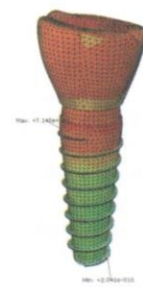
Рис. 2. Схема поперечного перерізу абатмента з поздовжніми пазами на апоксимальних поверхнях.



Рис. 3. Дискретна модель ортопедичної конструкції з опорою на внутрішньоістковий дігитальний імплантат у точній математичній побудові.



а



б

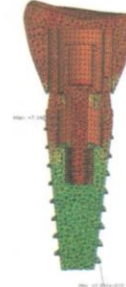
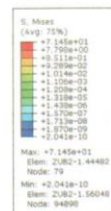


Рис. 4. Схема еквівалентних напружень, що виникають у конструкції, із зазначенням максимальних та мінімальних значень напруження (а, б).



Рис. 5. Схема розподілу граничних напружень, які виникають у конструкції під дією жувального навантаження (220 Н).

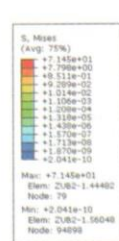


Рис. 6. Схема граничних напружень, які призводять до руйнування ортопедичної конструкції з опорою на імплантат, визначених методом кінцевих елементів, при розрахунку жувального навантаження 400 Н.

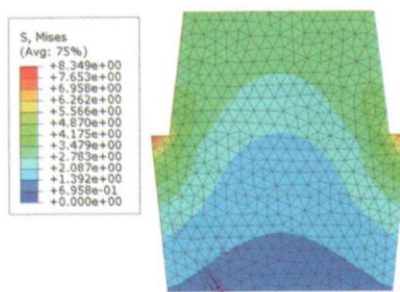
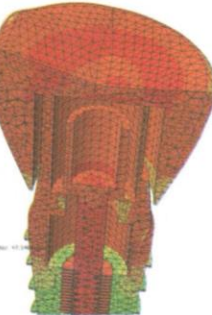


Рис. 7. Схема напружень, що виникають в абатменті з конусністю 14°.

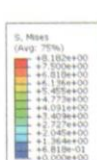


Рис. 8. Схема напружень, що виникають в абатменті з конусністю 9°.

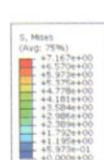


Рис. 9. Схема напружень, що виникають в абатменті з конусністю 7,5°.

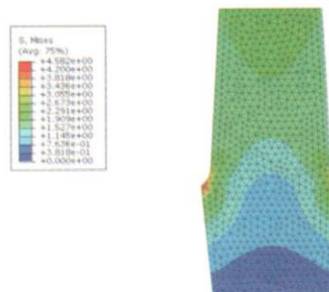
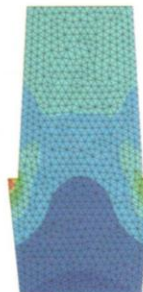


Рис. 10. Схема зменшення напруження в абатменті при уступі під кутом 137° з виконанням закруглення.

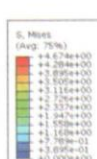


Рис. 10. Схема зменшення напруження в абатменті при уступі під кутом 137° з виконанням закруглення.



а



б

Рис. 11. Схема зменшення напруження створення додаткових ретенційних елементів покращення фіксації штучної коронки в абатменті, виготовленому за запропонованою методикою при навантаженні:  
а) 220 Н; б) 400 Н.

порівняльна оцінка напружень, що виникають у ділянці уступу, без урахування конусності абатмента при величині жувального навантаження у 220 Н. Була проведена порівняльна оцінка напружень, що виникають в абатменті з уступом під кутом 90°, але з різною конусністю абатмента у 14°, 9° і 7,5° (рис. 7–9).

Максимально можливе зниження напруження в абатменті за рахунок варіювання конусності було досягнуто при 7,5° (рис. 9). Таким чином, максимальні граничні напруження, що виникають в абатменті, були зменшені приблизно в 1,4 разу в порівнянні з результатом при 14°.

Незважаючи на максимально можливе зменшення напруження в абатменті при конусності 7,5°, залишається зона граничного напруження в ділянці уступу абатмента, що може привести до руйнування ортопедичної конструкції. З метою зменшення напруження в цій ділянці було розглянуто кілька варіантів конфігурації уступу, але саме уступ під кутом 137° з виконанням заокруглення показав найкращий результат зменшення напруження (рис. 10). Для попередження виникнення тріщин у концентраторі напруження, яким є вершина кута, необхідно виконувати заокруглення, що приводить до зниження напруження в цій ділянці.

При моделюванні методом кінцевих елементів абатмента на основі запропонованої вище геометрії був розглянутий числовий експеримент з урахуванням поздовжнього пазу на апроксимальних поверхнях абатмента, який забезпечує кращу ретенцію штучної коронки та попереджає виникнення роз cementування ортопедичних конструкцій з опорою на внутрішньокісткові дентальні імплантати (рис. 11).

На основі розрахованих вище кута нахилу та заокруглення доведено, що поздовжній раз істотно не збільшує напруження в абатменті й не є концентратором напруження. При побудові математичної моделі абатмента, виготовленого за запропонованою методикою, з урахуванням усіх діючих навантажень удалося зменшити напруження в абатменті в кілька разів і покращити фіксацію штучної коронки.

Таким чином, на основі математичних розрахунків навантаження, що діє під різними кутами (90° і 20°) на незнімні ортопедичні конструкції з опорою на внутрішньокісткові дентальні імплантати, доведено та підтверджено експериментально, що граничні напруження в індивідуальному абатменті з конусністю 7,5° у 1,4 разу менше, ніж напруження у стандартному з конусністю

14°. Для попередження руйнації ортопедичної конструкції з опорою на внутрішньокістковий дентальний імплантат рекомендується зменшення концентрації напруження в ділянці уступу абатмента шляхом його заокруглення.

На основі виведених математичних спiввiдношень створено комп'ютерну програму розрахунку оптимальних параметрів абатмента: конусності, конфiгурацiї уступу, розмiру ретенцiйного поздовжнього пазу на апроксимальних поверхнях.

На пiдставi проведених математичних та експериментальних дослiдженiй установлено, що оптимальним для виготовлення незнiмнiх ортопедичнiх конструкцiй з опорою на внутрiшньокiстковi дентальнi iмплантатi є застосування iндiвiдуальних абатментiв з конуснiстю 7,5° та уступом пiд кутом 137° i створенням у дiлянцi уступу заокруглення, а також нанесенням поздовжнього пазу на апроксимальних поверхнях абатмента для посилення ретенцiї штучної коронки. Уступ повинен бути розташований вище рiвня ясен на оральнi та апроксимальнiх поверхнях, а на рiвнi ясен – на вестибулярнi.

## Висновки

Уперше було проаналiзовано напруженno-деформований стан зубоцелепної системи пiслi встановлення незнiмного металокерамiчного протезу з опорою на внутрiшньокiстковi дентальнi iмплантатi з використанням iндiвiдуального абатмента та створено математичну модель напруженno-деформованого стану у точнiй математичнiй постановцi з урахуванням всiх осцилiвостей конструкцiї протезу. Доведено умови мiцностi для протезiв у двох випадках навантаження вертикально дiючоi сили та пiд кутом. У ходi математичних розрахункiв та експериментального дослiдження напруженno-деформованого стану ортопедичнiх конструкцiй з опорою на внутрiшньокiстковi дентальнi iмплантатi з урахуванням концентраторiв напруження – уступiв пiд кутом 90° та 137° установлено, що напруження в концентраторi пiд кутом 90° у 2,6 разу бiльше, нiж з кутом 137°. На основi методу кiнцевих елементiв iмплантату доведено, що оптимальний кут конуснiстi вiдповiдаe розробленiй математичнiй моделi. Експериментально доведено, що оптимальний кут конуснiстi абатмента складає 7,5°. Таким чином, максимальнi напруження, що виникають в абатментi, завдяки оптимiзацiї конуснiстi були зменшенi в 1,4 разу порiвняно з кутом конуснiстi абатмента 14°.

## ЛІТЕРАТУРА

- Галлагер Р. Метод конечных элементов / Р.Х. Галлагер. – М.: Мир, 1986. – 428 с.
- Дияк І. Дослiдження напруженno-деформованого стану бiомеханiчної системи «коронка-цилiндричний iмплантат-кiстка» на основi осесиметричної моделi / І. Дияк, М. Копитко, А. Коркуна // Фiзикo-математичне моделювання та iнформацiйнi технологiї. – 2010. – Вип. 12. – С. 78–87.
- Каплун А.Б. ANSYS в руках инженера: практическое руководство / А.Б. Каплун, Е.Н. Морозов, Н. А. Олферьева. – М.:УРСС, 2003. – 272 с.
- Мандзюк Т. Огляд проблем комп'ютерного моделювання бiомеханiчних систем у стоматологiї / Т. Мандзюк, В. Вовк // Вiсник Львiв. ун-ту; Сер. прикл. матем. та iнформ. – 2008. – Вип. 14. – С. 105–122.
- Миргазизов Р.М. Интегральная оценка качества соединений ортопедических конструкций с дентальными имплантатами / Р.М. Миргазизов // Институт стоматологии. – 2007. – №34. – С. 32–33.
- Мiнiйяло M.I. Методика застосування куксових вкладок замiсть стандартних абатментiв / M.I. Мiнiйяло, B.E. Жданов, B.E. Жданов, B.C. Козлов // Современная стоматология. – № 1. – 2007. – С. 91–97.
- Олесова В.Н. Напряженно-деформированное состояние кортикальной кост-
- ной ткани в условиях трехмерной математической модели нижней челюсти при нагрузке внутрикостного имплантата в боковом отделе зубного ряда / В.Н. Олесова, Г.Н. Журули, Ю.М. Магаметханов и др. // Стоматология. – 2009. – № 6. – С. 60–61.
- Фастовець О.О. Покращення ретенцiї незнiмних протезiв при низьких клiнiчнiх коронках унаслiдок патологiчного стiрання зiбiв / О.О. Фастовець // Современная стоматология. – 2007. – № 4 (40). – С. 124–127.
- Чуйко А.Н. Особенности бiомеханики в стоматологии / А.Н. Чуйко, В.Е. Вовк. – Харьков: Прapor, 2006. – 304 с.
- Kwon B.-G. Finite element analysis of different bone substitutes in the bone defects around dental implants / B.-G. Kwon, S.-G. Kim // Implant Dentistry. – 2006. – Vol. 15. – N. 3. – P. 254–261.
- Nagasawa S. Nonlinear stress analysis of titanium implants by finite element method / S. Nagasawa, K. Hayano, T. Niino et al. // Dental Materials Journal. – 2008. – N. 27. – P. 633–639.
- Serrano-Sanchez P. The influence of platform switching in dental implants. A literature review / P. Serrano-Sanchez et al. // Med. Oral. Patol. Cir. Bucal. – 2011. – N. 16. – P. 400–405.

**Экспериментальное моделирование напряженно-деформированного состояния несъемной ортопедической конструкции с опорой на дентальный имплантат и абатмента методом конечных элементов**

A.Ф. Сиренко

**Цель:** повышение эффективности ортопедического лечения пациентов с дефектами зубных рядов с помощью дентальных имплантатов за счет объективизации оценки напряженно-деформированного состояния ортопедических конструкций.

**Материалы и методы.** Для проверки математических расчетов проводили моделирование напряженно-деформированного состояния несъемной ортопедической конструкции, абатмента и фиксирующего винта методом конечных элементов в компьютерной программе ANSYS.

**Результаты.** В ходе математических расчетов и экспериментального исследования напряженно-деформированного состояния ортопедических конструкций с опорой на внутрикостные дентальные имплантаты было установлено, что напряжения в концентраторе под углом 90° в 2,6 раза больше, чем с углом 137°. Экспериментально доказано, что оптимальный угол конусности абатмента составляет 7,5°, а максимальные напряжения, которые возникают в таком абатменте благодаря оптимизации конусности, были уменьшены в 1,4 раза по сравнению с углом конусности абатмента 14°.

**Выводы.** Применение предложенных оптимальных параметров индивидуального абатмента для минимизации окклюзионной нагрузки на несъемные металлокерамические конструкции с опорой на дентальные имплантаты помогает снизить показатели напряженно-деформированного состояния в зубных протезах, абатменте и фиксирующем винте.

**Ключевые слова:** дефекты зубных рядов, несъемные зубные протезы, напряженно-деформированное состояние ортопедических конструкций на внутрикостных дентальных имплантатах.

**Experimental modeling of stress-strain state of non-removable dental prostheses on dental implant and abatment by finite element analysis**

A. Sirenko

**Aim:** Improving the efficiency of orthopedic treatment of patients with defects of dentition using dental implants by objectivisation of evaluation of stress-strain state of dental prostheses.

**Material and methods.** Modeling of stress-strain state of non-removable orthopedic construction, abatment and fixing screw by finite element analysis in computer program ANSYS was used for verification of mathematical calculations.

**Results.** In the course of mathematical calculations and experimental research of stress-strain state of orthopedic constructions on dental implants it was studied that tension in the hub with the angle ledge at 90° is 2.6 times greater than with 135° angle. Experimentally proved that optimal abatment's conical angle is 7,5°, and maximum tension in such abatment by optimizing cone angle decreased in 1.4 times compared with angle of 14°.

**Conclusions.** Using offered optimal parameters of individual abatment to minimize the occlusal loading force on the non-removable metal-ceramic constructions on dental implants helps to reduce the stress/strain values in dental prostheses, abatment and fixing screw.

**Key words:** defects of dentition, non-removable dental prostheses, stress-strain state of dental prostheses on endosseous dental implants.

*Сиренко Олександра Федорівна – канд. мед. наук,  
асистент кафедри стоматології НМАПО ім. П.Л. Шупика МОЗ України.  
Адреса: вул. Пимоненка, 10-а, м. Київ, 04050. Тел.: (044) 4823281. E-mail: sirenko\_a@ukr.net.*

НОВОСТИ • НОВОСТИ • НОВОСТИ • НОВОСТИ • НОВОСТИ • НОВОСТИ • НОВОСТИ

**В XVII ВЕКЕ БЫЛ ИЗОБРЕТЕН  
ОДИН ИЗ САМЫХ ВАЖНЫХ СТОМАТОЛОГИЧЕСКИХ ИНСТРУМЕНТОВ**

Разработанный известным французским стоматологом Этьеном Буржетом зубной ключ на долгие десятилетия и даже века стал главным подручным инструментом любого уважающего себя дантиста. Конструкция первых таких ключей была простой, но в то же время весьма эффективной. Это был обычный металлический прибор, напоминавший что-то среднее между штопором, «открывашкой» и обычным гаечным ключом. На конце оси красовался специальный крюк, с помощью которого удавалось плотно захватить нужный зуб. Таким образом, он даже не вырывался, а скорее выкручивался, словно шуруп. В дальнейшем зубной ключ претерпел множество доработок и модификаций (например, стало возможным захватывать зубы под разными углами), но не утратил при этом своей доступности и относительной простоты в использовании.

А как же удаляли зубы до появления этого приспособления? Скажем честно, этот процесс мог принести настоящие страдания и отчасти напоминал лотерею. Дело в том, что вырывали большой зуб, как правило, обычными щипцами. В самый ответственный момент он нередко скальвался под корень, а щипцы, соскочив, могли повредить еще и соседние зубы. Остатки того, что когда-то было зубом, выбивали долотом, что иногда приводило даже к смерти пациента от болевого шока.